

(2.5). В результате

$$(П.1) \quad -B/(B+1)\zeta_0 y \lambda = y^3 + 2y';$$

$$(П.2) \quad (1+B)\zeta_0 = (1-1,5B)/(v/(4\alpha^2\lambda_{0,1}^2) + y_0^4/\zeta).$$

Последнее соотношение получено следующим образом. Уравнение (2.5) умножено на ζ и от обеих частей его взят интеграл по области $[-\lambda_{0,1}, \lambda_{0,1}]$, при этом использованы приближенные равенства

$$\int_{-\lambda_{0,1}}^{\lambda_{0,1}} \left[\frac{B}{B+1} \lambda + (1+2\beta) \zeta y^2 \right] \zeta \zeta' d\lambda \simeq -\frac{B}{B+1} \lambda_{0,1} \zeta_0^2,$$

$$\int_{-\lambda_{0,1}}^{\lambda_{0,1}} \zeta^2 y^2 \left(\frac{B}{B+1} \lambda + \zeta y^2 \right) d\lambda \simeq 2y^4(0) \zeta_0^3 \lambda_{0,1}.$$

Дифференциальное уравнение (П.1) для функции y есть уравнение Бернулли. Оно интегрируется, и решение представляется в виде $\Delta = 1/y^2(0) + [(1+B)/(2B)] \zeta_0 \pi^{0,5} \Phi[\lambda B^{0,5}/((2(B+1)\zeta_0)^{0,5})]$.

Удовлетворяя граничным условиям (2.6), имеем

$$(П.3) \quad y_0^2 = 2n/(n+1), \quad [2(1+B)\zeta_0 \pi]^{0,5} = (n-1)/n.$$

Из условия $\delta(\lambda_{0,1}) = 0,1$ находим

$$(П.4) \quad \lambda_{0,1} = \eta_0(n-1)/(\pi^{0,5}n).$$

Из (П.2)—(П.4) можно определить показатель автомодельности B . Выражение для него тождественно совпадает с формулой (4.6).

ЛИТЕРАТУРА

1. Баренблатт Г. И. Распльвание турбулентного слоя // Н. Е. Кочин и развитие механики.— М.: Наука, 1984.
2. Barenblatt G. I. Selfsimilar turbulence propagation from an instantaneous plane source // Nonlinear Dynamics and Turbulence.— Boston et al., 1983.— P. 48.
3. Неуважаев В. Е., Яковлев В. Г. Модель и метод численного расчета турбулентного перемешивания границы раздела, движущейся ускоренно // Вопросы атомной науки и техники. Сер. Методики и программы численного решения задач математической физики.— М., 1984.— Вып. 2/16.
4. Монин А. С., Яглом А. И. Статистическая гидродинамика.— М.: Наука, 1965.— Ч. 1.
5. Неуважаев В. Е. К теории турбулентного перемешивания // ДАН СССР.— 1975.— Т. 222, № 5.
6. Неуважаев В. Е. Свойства модели турбулентного перемешивания границы раздела ускоряемых разноплотных жидкостей // ПМТФ.— 1983.— № 5.

Поступила 3/Х 1986 г.

УДК 532.517.4

ЧИСЛЕННОЕ ИССЛЕДОВАНИЕ ЗАКРУЧЕННЫХ ОДНО- И ДВУХФАЗНЫХ ТУРБУЛЕНТНЫХ ПОТОКОВ В ЦИЛИНДРИЧЕСКОМ КАНАЛЕ

В. В. Новомлинский, М. П. Стронгин
(Барнаул)

Турбулентные закрученные потоки широко используются для интенсификации процессов теплообмена в различных промышленных аппаратах. Примерами таких аппаратов могут служить плазмохимические реакторы, плазмотроны, камеры сгорания, пылеуловители и т. д. Для увеличения экономичности и эффективности их работы необходимо детальное исследование гидродинамики в закрученных течениях.

Известно, что закрученные потоки характеризуются сильной искривленностью линий тока, возникновением рециркуляционных зон, расположение и размеры которых в значительной мере зависят от интенсивности крутки и конфигурации границ

области течения. Размеры рециркуляционной зоны зависят также от «загруженности» потока частицами в случае газодисперсных течений. Исследование вихревых потоков с дисперсной фазой осложняется необходимостью учета динамического взаимодействия фаз. Все это вместе с проблемой моделирования турбулентности существенно затрудняет численное исследование течений такого типа. Теоретическое и экспериментальное исследование закрученных потоков значительно продвинуто в [1—3].

1. Турбулентные однофазные потоки с закруткой. Большой интерес к интенсивным закрученным потокам, которые являются в основном турбулентными, требует привлечения достаточно гибких моделей турбулентности. В [4] приведены расчеты осесимметричных закрученных турбулентных струй с использованием прандтлевской модели пути смещения, которые показали качественное согласование с экспериментальными данными. В [5, 6] сделана попытка использовать для численного исследования закрученных течений стандартную $k - \epsilon$ -модель турбулентности (k — кинетическая энергия пульсационного движения, ϵ — скорость диссипации пульсационной энергии), которая хорошо зарекомендовала себя при расчетах простых сдвиговых течений. Однако использование стандартной $k - \epsilon$ -модели при достаточно интенсивной закрутке приводило к существенному расхождению с экспериментом. Автор [6] объясняет это расхождение анизотропией турбулентной вязкости, хотя используемая им стандартная модель турбулентности не учитывает даже тех выражений для пульсационных моментов, которые появляются вследствие крутки и допускают описание в рамках изотропной модели. В [7] отмечается, что один из возможных путей дальнейшего усовершенствования моделей турбулентности закрученных течений состоит в различного рода модификациях $k - \epsilon$ -модели.

В [8—12] предложены поправки к традиционной двухпараметрической модели. Как отмечается в [12], все ранее предложенные модификации $k - \epsilon$ -модели оказались непригодными для расчета закрученных ограниченных турбулентных течений. Подход авторов [12] состоял в подборе оптимальных значений эмпирических констант модели энергия — диссипация для изучения закрученных турбулентных ограниченных течений. Так, путем прямого перебора и сравнения с экспериментом [13] получены следующие оптимальные значения для констант: $c_\mu = 0,125$, $c_1 = 1,44$, $c_2 = 1,8943$, $\sigma_\epsilon = 1,1949$, но, как отмечается в [12], при расчетах незакрученных течений эти оптимальные значения эмпирических констант неприемлемы. Для расчета незакрученных течений в [12] предлагается использовать один набор эмпирических констант, а для расчета слабо- и сильнозакрученных потоков — другой. Однако очевидно, что характеристики незакрученного и слабозакрученного течения должны быть близки и в то же время существенно отличаться от параметров потока с сильной закруткой.

Другой подход в моделировании турбулентности для закрученных течений состоит в использовании моделей второго порядка, включающих в себя уравнения для переноса вторых одноточечных моментов $\langle u_i' u_j' \rangle$, что позволило отказаться от гипотезы изотропности турбулентной вязкости [14—16]. К сожалению, эти модели обладают существенным недостатком: наличием большого числа эмпирических констант, что в сильной степени снижает ценность модели для практических расчетов. К тому же дополнительные уравнения для $\langle u_i' u_j' \rangle$ делают модель более громоздкой, что также затрудняет ее численную реализацию. Открытым остается вопрос о достаточной правомерности гипотез, использованных при выводе этих моделей [17]. Попытки использовать модели второго порядка для расчета закрученных течений оказались «весьма разочаровывающими» [17].

В данной работе предложена новая модификация $k - \epsilon$ -модели для закрученных потоков постоянной плотности, учитывающая влияние закрутки на турбулентные характеристики течения и переходящая в стандартную при затухании закрутки. Почти все предыдущие модификации $k - \epsilon$ -модели были связаны с изменением выражений для эмпирических констант c_2 или(и) c_μ . Здесь же сделана попытка модифицировать член

в ε -уравнении, связанный с генерацией, так, чтобы эмпирически учесть дополнительные корреляции, возникающие в закрученном течении. Лучшее смещение закрученных потоков обусловлено их повышенной по сравнению с незакрученными турбулизацией, т. е. большими коэффициентами переноса. При использовании $k - \varepsilon$ -модели замыкания, где $\mu_t = c_\mu \rho k^2 / \varepsilon$ — турбулентная вязкость, можно попытаться получить увеличение μ_t в закрученном потоке путем модификации уравнения для ε , изменив в ε -уравнении член с генерацией, поскольку именно этот член введен в уравнение с наибольшим произволом. Естественно, что модификация должна касаться генерации, обусловленной круткой, так как для достаточно гибких моделей турбулентности при затухании интенсивности закрутки в пределе, стремящейся к нулю, необходим переход в стандартную $k - \varepsilon$ -модель. В некоторых случаях закрутка турбулентного потока приводит к подавлению турбулентности, а следовательно, и к уменьшению коэффициента турбулентной вязкости. Так, в [18] приводится критерий затухания турбулентных пульсаций под действием радиальной силы в закрученном потоке $\partial(w^2/r)/\partial r > 0$.

Действительно, при описании турбулентного закрученного течения на основе $k - \varepsilon$ -модели возникает новый момент $\langle F_r'v' \rangle$, где F_r' — пульсационная составляющая радиальной (центробежной) силы. Этот момент в соответствии с градиентной гипотезой можно представить в виде (несжимаемый случай) $\langle F_r'v' \rangle = -\mu_t \partial(w^2/r)/\partial r$. Записывая член генерации G как сумму G_w и $G_{u,v}$ (G_w — генерация за счет тангенциальной составляющей скорости w , $G_{u,v}$ — генерация за счет составляющих u, v), получим $G_w = \mu_t \left[\left(r \frac{\partial}{\partial r} \left(\frac{w}{r} \right) \right)^2 + \left(\frac{\partial w}{\partial z} \right)^2 - \frac{\partial(w^2/r)}{\partial r} \right]$. Увеличение (уменьшение) μ_t достигается путем уменьшения (увеличения) члена с генерацией в уравнении для ε . Используя простой аналог для числа Ричардсона $Ri = G_w^s / (G_{u,v}^s + G_w^s)$, можно задать c_1 в виде $c_1 = 1,44 - c_3 Ri$. Здесь индекс s означает сдвиговую часть генерации без члена $\langle F_r'v' \rangle$. Наилучшее соответствие экспериментальным данным [13] получено при $c_3 \approx 1$, т. е.

$$(1.1) \quad c_1 = 1,44 - Ri.$$

Турбулентное стационарное закрученное несжимаемое течение в цилиндрическом канале в предположении осевой симметрии описывается на основе уравнений Рейнольдса, замкнутых с помощью модифицированной модели турбулентности. Используется $k - \varepsilon$ -модель с модификацией, предложенной в [19] для пристенных течений. Уравнения в цилиндрической системе координат с осью z вдоль оси канала и радиальной координатой r имеют вид

$$(1.2) \quad \begin{aligned} \frac{\partial \rho u r}{\partial z} + \frac{\partial \rho v r}{\partial r} &= 0, \\ \rho u \frac{\partial u}{\partial z} + \rho v \frac{\partial u}{\partial r} &= -\frac{\partial p}{\partial z} + 2 \frac{\partial}{\partial z} \left(\mu_s \frac{\partial u}{\partial z} \right) + \frac{1}{r} \frac{\partial}{\partial r} \left(r \mu_s \frac{\partial v}{\partial r} \right) + \frac{1}{r} \frac{\partial}{\partial r} \left(r \mu_s \frac{\partial u}{\partial r} \right), \\ \rho u \frac{\partial v}{\partial z} + \rho v \frac{\partial v}{\partial r} - \frac{\rho w^2}{r} &= -\frac{\partial p}{\partial r} + \frac{\partial}{\partial z} \left(\mu_s \frac{\partial v}{\partial z} \right) + \frac{2}{r} \frac{\partial}{\partial r} \left(r \mu_s \frac{\partial v}{\partial r} \right) + \\ &+ \frac{\partial}{\partial z} \left(\mu_s \frac{\partial u}{\partial r} \right) - 2 \mu_s \frac{v}{r^2}, \\ \rho u \frac{\partial w}{\partial z} + \rho v \frac{\partial w}{\partial r} + \frac{\rho v w}{r} &= \frac{1}{r} \frac{\partial}{\partial r} \left(r \mu_s \frac{\partial w}{\partial r} \right) + \frac{\partial}{\partial z} \left(\mu_s \frac{\partial w}{\partial z} \right) - \frac{w \mu_s}{r^2} - \frac{w}{r} \frac{\partial \mu_s}{\partial r}, \\ \rho u \frac{\partial k}{\partial z} + \rho v \frac{\partial k}{\partial r} &= \frac{1}{r} \frac{\partial}{\partial r} \left(r \frac{\mu_s}{\sigma_k} \frac{\partial k}{\partial r} \right) + \frac{\partial}{\partial z} \left(\frac{\mu_s}{\sigma_k} \frac{\partial k}{\partial z} \right) + G - \rho \varepsilon, \\ \rho u \frac{\partial \varepsilon}{\partial z} + \rho v \frac{\partial \varepsilon}{\partial r} &= \frac{1}{r} \frac{\partial}{\partial r} \left(r \frac{\mu_s}{\sigma_\varepsilon} \frac{\partial \varepsilon}{\partial r} \right) + \frac{\partial}{\partial z} \left(\frac{\mu_s}{\sigma_\varepsilon} \frac{\partial \varepsilon}{\partial z} \right) + c_1 f_1 \frac{\varepsilon}{k} G - c_2 f_2 \nu \frac{\varepsilon^2}{k}, \end{aligned}$$

$$\begin{aligned}
c_1 &= 1,44 - \text{Ri}, \quad \mu_s = \mu_t + \mu_l, \quad G = G_{u,v} + G_w, \\
\text{Ri} &= G_w / (G_{u,v} + G_w), \quad \mu_t = c_\mu f_\mu \rho k^2 / \varepsilon, \\
G_w &= \mu_s \left[\left(r \frac{\partial}{\partial r} \left(\frac{w}{r} \right) \right)^2 + \left(\frac{\partial w}{\partial z} \right)^2 - \frac{\partial}{\partial r} \left(\frac{w^2}{r} \right) \right], \\
G_{u,v} &= 2\mu_s \left[\left(\frac{\partial u}{\partial z} \right)^2 + \left(\frac{\partial v}{\partial r} \right)^2 + \left(\frac{v}{r} \right)^2 \right] + \left(\frac{\partial u}{\partial r} + \frac{\partial v}{\partial z} \right)^2, \\
f_\mu &= (1 - \exp(-A_\mu R_k))^2 (1 + A_t / R_t), \\
f_1 &= 1 + (A_1 / f_\mu)^3, \quad f_2 = 1 - \exp(-R_t^2), \\
R_t &= k^2 \rho / \mu_l \varepsilon, \quad R_k = k^{1/2} (R - r) \rho / \mu_l, \\
r = R: \mu_t &= \frac{\partial k}{\partial r} = 0, \quad \varepsilon_w = \frac{\mu_l}{\rho} \left(\frac{\partial^2 k}{\partial r^2} \right)_w.
\end{aligned}$$

Здесь u, v, w — z, r, φ -компоненты осредненной скорости соответственно; $k = \frac{1}{2} \langle u'_i u'_i \rangle$ — кинетическая энергия турбулентности; $\varepsilon = \nu_l \left\langle \frac{\partial u'_i}{\partial x_j} \frac{\partial u'_i}{\partial x_j} \right\rangle$ — удельная скорость диссипации пульсационной энергии; ρ, p — осредненные плотность и давление газа; μ_s, μ_l, μ_t — эффективная, ламинарная и турбулентная вязкости. Эмпирические константы k - ε -модели принимают стандартные значения [19]: $c_\mu = 0,09, c_2 = 1,92, \sigma_k = 1,0, \sigma_\varepsilon = 1,3, A_\mu = 0,0165, A_t = 20,5, A_1 = 0,05$. В задачах о течении закрученного турбулентного потока в цилиндрической трубе принимались следующие граничные условия: на выходе из трубы для всех параметров задавались «мягкие» граничные условия равенства нулю осевых градиентов; на входе для u, w задавались профили, полученные экспериментально в [13], $v = 0$. На оси трубы выполнялось условие $\partial \Phi / \partial r = 0$ для $\Phi = u, w, k, \varepsilon$ и $v = 0$. Задание на входной границе для k и ε естественного «ступенчатого», а не однородного профиля позволило приблизить результаты расчета к экспериментальным.

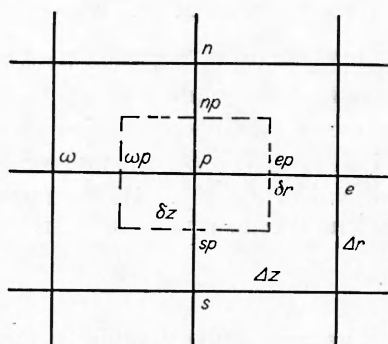


Рис. 1

Любое дифференциальное уравнение системы (1.2) можно представить в виде

$$(1.3) \quad \frac{\partial \rho u \Phi}{\partial z} + \frac{1}{r} \frac{\partial \rho v r \Phi}{\partial r} = \frac{1}{r} \frac{\partial}{\partial r} \left(r \Gamma_\Phi \frac{\partial \Phi}{\partial r} \right) + \frac{\partial}{\partial z} \left(\Gamma_\Phi \frac{\partial \Phi}{\partial z} \right) + S_\Phi,$$

где $\Phi = u, v, w, k, \varepsilon$; Γ_Φ — коэффициенты переноса; S_Φ — источниковые члены. Интегрируя (1.3) по контрольному объему разностной сетки (рис. 1), получим его дискретный аналог [20]

$$\begin{aligned}
a_p \Phi_p &= a_e \Phi_e + a_\omega \Phi_\omega + a_n \Phi_n + a_s \Phi_s + b, \\
a_e &= D_e A(\text{Pe}_e) + \max(-F_e, 0), \quad D_e = \Gamma_{ep} r_e \Delta r / \delta z, \\
a_n &= D_n A(\text{Pe}_n) + \max(-F_n, 0), \quad D_n = \Gamma_{np} r_{np} \Delta z / \delta r, \\
a_\omega &= D_\omega A(\text{Pe}_\omega) + \max(F_\omega, 0), \quad D_\omega = \Gamma_{\omega p} r_\omega \Delta r / \delta z, \\
a_s &= D_s A(\text{Pe}_s) + \max(F_s, 0), \quad D_s = \Gamma_{sp} r_{sp} \Delta z / \delta r, \\
F_e &= (\rho u)_{ep} r_e \Delta r, \quad F_n = (\rho v)_{np} r_{np} \Delta z, \\
F_\omega &= (\rho u)_{\omega p} r_\omega \Delta r, \quad F_s = (\rho v)_{sp} r_{sp} \Delta z, \\
r_{sp} &= (r_s + r_p) / 2, \quad b = S_c \Delta z r \Delta r, \\
a_p &= a_e + a_\omega + a_n + a_s - S_p r_p \Delta r \Delta z.
\end{aligned}$$

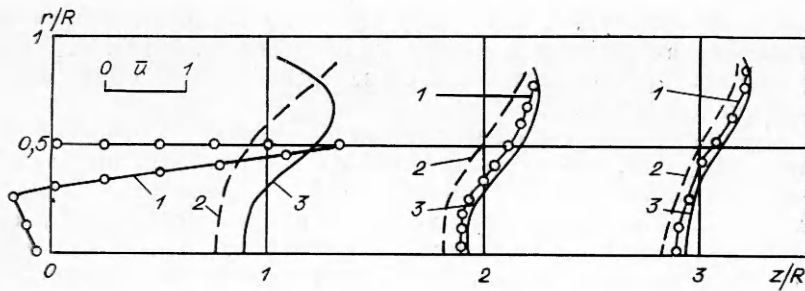


Рис. 2

Так же определяются Γ_{ep} , Γ_{np} , $\Gamma_{\omega p}$, Γ_{sp} , $(\rho v)_{sp}$, $(\rho u)_{ep}$, $(\rho u)_{\omega p}$, $(\rho v)_{np}$, а S_c , S_p находятся при помощи линеаризации источникового члена $S_\Phi = S_c + S_p \Phi_p$. Сеточные числа Пекле Pe_e , Pe_ω , Pe_n , Pe_s представлены как отношения соответствующих конвективного и диффузионного членов: $Pe_\alpha = F_\alpha / D_\alpha$, $\alpha = e, \omega, n, s$. В выражение для разностных коэффициентов a_e , a_ω , a_n , a_s входит неизвестная функция $A(Pe_\alpha)$, которая и определяет тип разностной схемы. В [20] для моделирования дву- и трехмерных задач рекомендуется степенная схема, для которой $A(Pe_\alpha) = \max [0, (1 - 0,1|Pe_\alpha|)^5]$.

При выводе дискретного аналога для уравнений составляющих скорости u , v удобнее располагать контрольный объем смещенным соответственно вправо и вверх от точки p (так называемая «шахматная сетка»), значения u , v находятся в точках ep и np . Следствием введения такой сетки является то, что разность давлений между двумя соседними узловыми точками определяет составляющую скорости в точке между этими узлами. Существуют также другие преимущества такого расположения контрольных объемов [20]. Поле давления рассчитывается с помощью SIMPLE-процедуры [20]. Разностные уравнения для всех переменных решались итерационным методом с использованием прогонок в направлении r .

Для апробации полученной модели проведена серия расчетов течения закрученного турбулентного потока воздуха в цилиндрическом канале. На рис. 2, 3 представлены радиальные профили безразмерных u и w составляющих скорости. Сравнение экспериментальных данных [13], расчета [12] и моделирования по описанной выше методике (кривые 1—3 соответственно) показало, что модель с поправкой на c_1 более точно предсказывает характеристики течения. Следует отметить, что при расчетах по стандартной $k-\epsilon$ -модели быстро устанавливается профиль w с максимумом вблизи стенки, характерный для вращения твердого тела, что не согласуется с экспериментом.

2. Турбулентные газодисперсные потоки с закруткой. Расчеты закрученных течений с дисперсной фазой посвящено ограниченное число работ. Так, в [21] аналитическими методами изучались предельные случаи ламинарного течения закрученного запыленного газа. В [22] рассматривалось движение твердых частиц в заданном поле скорости, причем составляющие вектора скорости газовой фазы моделировались с помощью случайной функции времени, распределенной по нормальному закону с ма-

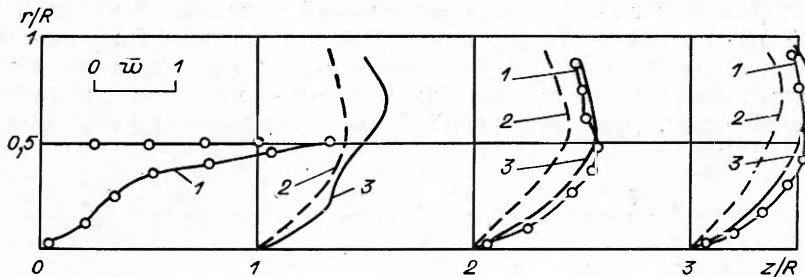


Рис. 3

тематическим ожиданием, которое равно средним значениям скоростей, и дисперсией, равной интенсивности турбулентности. В [23, 24] представлены расчеты закрученных течений с дисперсной фазой на основе уравнений газовой динамики.

В настоящей работе рассмотрено турбулентное закрученное течение с дисперсной фазой, когда для несущей фазы использовались уравнения типа Навье—Стокса с модифицированной $k - \varepsilon$ -моделью замыкания. Для моделирования двухфазных потоков принималась гипотеза взаимопроникающих, взаимодействующих континуумов. Дисперсная фаза образуется сферическими твердыми частицами одинаковых размеров, объемная концентрация которых мала, а массовая может быть значительной. Так как концентрация частиц мала, взаимодействие частиц в потоке не рассматривалось. Учитывалось влияние частиц как на осредненные, так и на пульсационные параметры течения [25]. В [26] показана возможность пренебрежения для определенного класса течений пульсациями параметров частиц, что существенно упрощает модель. Во многих практически реализуемых потоках с тяжелыми частицами $\tau_p/\tau_D < 1$, где τ_D — время динамической релаксации частицы в потоке, $\tau_0 = L/u_0$ — характерное время крупномасштабных пульсаций размера L , $\tau_0 \sim 10^{-3} - 10^{-4}$ с, $\tau_D \sim \sim 10^{-2}$ с. Это позволяет при рассмотрении межфазного взаимодействия и моделировании движения двухфазной среды пренебречь для инертных частиц пульсациями параметров дисперсной фазы. В закрученных потоках влияние турбулентной поперечной диффузии частиц обычно пренебрежимо мало по сравнению с радиальным рассеянием частиц из-за появления составляющей их скорости w_p .

Для описания движения несущей фазы использовались уравнения (1.2) с добавлением в правые части уравнений для u, v, w, k, ε источников членов, отражающих взаимодействие газовой и дисперсной фаз (рассматривается только сила сопротивления). Для вывода этих членов в уравнениях для k и ε обычно используется процедура Фридмана — Келлера. Вывод основан на предположении о непрерывности дисперсной фазы на всех характерных размерах задачи, в том числе и на корреляционном размере l для ε , т. е. на микромасштабе турбулентных пульсаций. Однако, как показано в [25], формальное применение процедуры Фридмана — Келлера для получения члена $S_{\varepsilon p}$, учитывающего взаимодействие фаз в уравнении для ε , невозможно, так как дисперсную фазу в данном случае уже нельзя рассматривать как сплошную среду. В [25] обосновывается возможность пренебрежения членом $S_{\varepsilon p}$ в уравнении для диссипации при выполнении условия $l/r_0 \ll 1$ (r_0 — среднее расстояние между частицами). Источниковые члены для других уравнений имеют вид

$$S_{up} = \theta(u_p - u)/\tau_D, \quad S_{vp} = \theta(v_p - v)/\tau_D, \quad S_{wp} = \theta(w_p - w)/\tau_D,$$

$$S_{kp} = -2k\theta/\tau_D^*, \quad \tau_D = \rho_p d_p^2 / 18\mu_l f_D, \quad f_D = \frac{1 + 0,15 \text{Re}_p^{2/3}}{1 + 3,82A}, \quad A = \mu_l / \rho c d_p,$$

$$\tau_D^* = \tau_D \left(1 - \text{Re}_p \frac{\partial \ln \tau_D}{\partial \text{Re}_p} \right)^{-1}.$$

Здесь γ, u_p, v_p, w_p — объемная концентрация и составляющие скорости дисперсной фазы; τ_D — время динамической релаксации частицы с поправкой на нестоксовость режима обтекания частицы f_D ; Re_p — число Рейнольдса для частицы; c — скорость звука; d_p — диаметр частицы; ρ_p — плотность материала частиц; $\theta = \rho_p \gamma$ — массовая концентрация дисперсной фазы. Для дисперсной фазы записываются уравнения типа Эйлера [25]:

$$(2.1) \quad \frac{\partial \gamma u_p r}{\partial z} + \frac{\partial \gamma v_p r}{\partial r} = 0, \quad v_p \frac{\partial v_p}{\partial r} + u_p \frac{\partial v_p}{\partial z} - \frac{w_p^2}{r} = \frac{1}{\tau_D} (v - v_p),$$

$$v_p \frac{\partial w_p}{\partial r} + u_p \frac{\partial w_p}{\partial z} + \frac{v_p w_p}{r} = \frac{1}{\tau_D} (w - w_p), \quad v_p \frac{\partial u_p}{\partial r} + u_p \frac{\partial u_p}{\partial z} = \frac{1}{\tau_D} (u - u_p).$$

Диффузией частиц для исследуемых параметров дисперсной фазы можно пренебречь. Система 2.1) решалась в едином алгоритме с уравнениями несущей фазы. На рис. 4, 5 показаны поперечные профили u , u_p и w , w_p в случае газодисперсного течения в цилиндрическом канале, когда в качестве дисперсной фазы выбирались частицы $d_p = 2 \cdot 10^{-5}$ м и $\rho_p = 8,9 \cdot 10^3$ кг/м³ с отношением массовых расходов частиц и воздуха на входе в канал $\kappa = 1$. Начальные профили для несущей фазы определялись следующим образом: $u_0(r) = 100$ м/с, $v_0(r) = 0$, $w_0(r) = 300$ r/R (м/с), $R = 10$ см — радиус канала.

Для дисперсной фазы задавались условия на входе: $u_{p0}(r) = 10$ м/с, $w_{p0}(r) = v_{p0}(r) = 0$. Профиль для γ однородный. Как показано на рис. 4, введение частиц уменьшает неравномерность профиля для u , а в течениях с рециркуляционной зоной существенно сокращает ее продольный размер. Наибольшее расхождение для скоростей u и u_p наблюдается вблизи стенки канала (кривая 1 — профиль u в случае незапыленного потока, 2 — профиль u в газодисперсном течении, 3 — u_p ; аналогичные обозначения для w , w_p на рис. 5).

Присутствие первоначально незакрученных инертных частиц приводит к подавлению закрутки (рис. 5), однако качественно профили w и w_p имеют тот же вид, характерный для вращения по закону твердого тела. Таким образом, расчеты по предлагаемой модели показали достаточно сильное влияние дисперсной фазы на характеристики течения, которое может быть описано в рамках простой модификации $k - \epsilon$ -модели турбулентности.

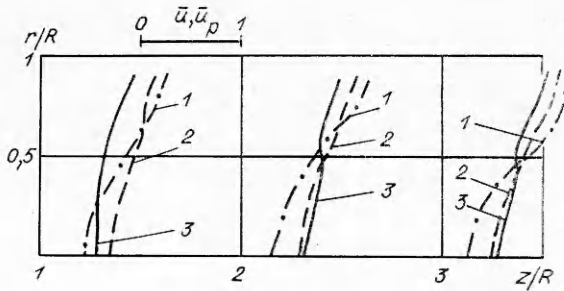


Рис. 4

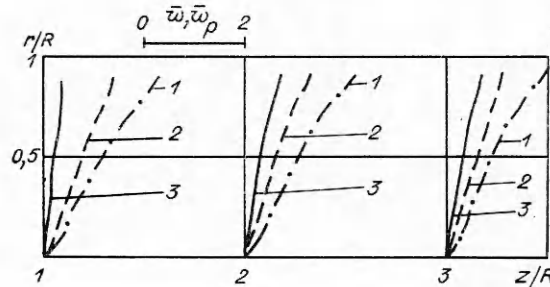


Рис. 5

ЛИТЕРАТУРА

1. Гольдштик М. А. Вихревые потоки. — Новосибирск: Наука, 1981.
2. Волчков Э. П., Кардаш А. П., Терехов В. И. Гидродинамика вихревой гиперболической камеры при наличии твердой фазы // Изв. СО АН СССР. Сер. техн. наук. — 1984. — № 10, вып. 2.
3. Волчков Э. П., Смутьский И. И. Аэродинамика вихревой камеры с торцевым и боковым вдувом // Теор. основы хим. технологии. — 1983. — Т. 17, № 2.
4. Жумаев З. Ш., Абрамов А. А., Файзиев Р. А. К расчету осесимметричных закрученных турбулентных струй // Изв. АН УзССР. Сер. техн. наук. — 1984. — № 2.
5. Третьяков В. В., Ягодкин В. И. Расчетное исследование турбулентного закрученного течения в трубе // ИФЖ. — 1979. — Т. 37, № 2.
6. Ramos J. I. A numerical study of turbulent, confined, swirling jets // Numerical methods in laminar and turbulent flow: Proc. 2nd Int. Conf. — Venice, 1981.
7. Хабиб, Уайтлоу. Характеристики ограниченных коаксиальных струй с закруткой и без закрутки потока // Тр. Амер. о-ва инж.-мех. Сер. Теор. основы инж. расчетов. — 1980. — N 1.
8. Leschziner M. A., Rodi W. Computation of strongly swirling axisymmetric free jets // AIAA J. — 1984. — V. 22, N 12.
9. Abujelala M. T., Jackson T. W., Lilley D. G. Swirl flow turbulence modeling. — N. Y., 1984. — (Paper/AIAA; N 1376).
10. Лондер, Приддин, Шарма. Расчет турбулентного пограничного слоя на вращающихся и криволинейных поверхностях // Тр. Амер. о-ва инж.-мех. Сер. Теор. основы инж. расчетов. — 1977. — № 1.
11. Sturgess G. J., Syed S. A. Calculation of confined swirling flows. — N. Y., 1985. — (Paper/AIAA; N 60).

12. Abujelala M. T., Lilley D. G. Limitations and empirical extensions of the $k - \epsilon$ model as applied to turbulent confined swirling flows.— N. Y., 1984.— (Paper/AIAA; N 441).
13. Yoon H. K., Lilley D. G. Five-hole pitot probe time-mean velocity measurements in confined swirling flows.— N. Y., 1983.— (Paper/AIAA; N 315).
14. Ха. Метод расчета трехмерных турбулентных течений в каналах турбинных решеток на расчетных и нерасчетных режимах с применением уравнений Навье — Стокса // Тр. Америк. о-ва инж.-мех. Сер. Энергетические машины и установки.— 1984.— № 2.
15. Сухович Е. П. Группа моделей турбулентности второго порядка для описания течений с искривленными линиями тока // Изв. АН ЛатвССР. Сер. физ. и техн. наук.— 1983.— № 1.
16. Gibson M. M., Rodi W. A Reynolds-stress closure model of turbulence applied to the calculation of a highly curved mixing layer // J. Fluid Mech.— 1981.— V. 103, N 5.
17. Шец Д. Турбулентное течение. Процессы вдува и перемешивания.— М.: Мир, 1984.
18. Стуров Г. Е. О влиянии закрутки потока на процессы турбулентного переноса // Изв. СО АН СССР. Сер. техн. наук.— 1984.— № 16, вып. 2.
19. Лэм Г., Брэмхорст К. Модифицированная форма $k - \epsilon$ -модели для расчета пристеночной турбулентности // Тр. Америк. о-ва инж.-мех. Сер. Теор. основы инж. расчетов.— 1981.— № 3.
20. Патанкар С. Численные методы решения задач теплообмена и динамики жидкости.— М.: Энергоатомиздат, 1984.
21. Желева И. М., Стулов В. П. Исследование одного класса закрученных течений запыленного газа // Изв. АН СССР. МЖГ.— 1983.— № 6.
22. Генкин А. Л., Гнатюк Т. А., Ярин Л. П. Движение частиц полидисперсного материала в турбулентном закрученном потоке // Физика аэродисперсных систем.— Киев, 1982.— № 22.
23. Селезнев Л. И., Цвигун С. Т. Исследование влияния условий закрутки на структуру двухфазного потока в расширяющемся канале // Изв. АН СССР. МЖГ.— 1983.— № 5.
24. Шургалский Э. Ф. Исследование двухфазных закрученных течений в цилиндрических каналах конечной длины // Теор. основы хим. технологии.— 1985.— Т. 19, № 3.
25. Новомлинский В. В., Стронгин М. П. Особенности использования двухпараметрической модели турбулентности в расчетах течений с инертными частицами // Турбулентные двухфазные течения и техника эксперимента.— Таллин, 1985.
26. Стронгин М. П. Математическое моделирование течений, характерных для плазменного напыления // Тепло- и массообмен в плазмохимических процессах: Тр. междунар. школы-семинара.— Минск, 1982.

Поступила 29/ХІІ 1986 г.

УДК 536.25

ТЕРМОДИФУЗИОННОЕ РАЗДЕЛЕНИЕ ЖИДКОЙ СМЕСИ В УСЛОВИЯХ РАЗВИТОЙ КОНВЕКЦИИ

К. Г. Костарев, А. Ф. Пшеничников

(Пермь)

Гравитационная конвекция, возникающая в неизотермических полостях, в значительной степени определяет вид концентрационных полей, сформированных термодиффузией. Существенное влияние конвекции на термодиффузионное разделение проявляется уже в горизонтальных слоях, подогреваемых сверху [1]. Конвективное движение, возникающее в них вследствие слабой неизотермичности границ или небольшого наклона, может уменьшить термодиффузионное разделение поперек слоя и одновременно вызвать появление в несколько раз больших продольных перепадов концентрации [2, 3]. Разделение в этом случае зависит в основном от диффузионного числа Рэлея (произведения чисел Грасгофа G_r и Шмидта Sc) и безразмерного термодиффузионного параметра [4, 5]. При $Sc G_r \sim 10^5$ концентрационное разделение достигает максимума. Дальнейшее усиление конвекции должно приводить к размыванию концентрационных полей, однако вопрос о неоднородности раствора по концентрации при $G_r \geq 10^4$ остается открытым. В настоящей работе он исследуется экспериментально на примере тепловой конвекции в зазоре между двумя горизонтальными coaxialными цилиндрами. Внутренний цилиндр имеет более высокую температуру. Тепловая конвекция однокомпонентной жидкости в такой полости хорошо изучена [6]. Ее характерная особенность — наличие под внутренним цилиндром застойной зоны с очень медленным («ползущим») движением. Эта зона имеет устойчивую стратификацию по температуре, как и горизонтальный слой, подогреваемый сверху, но в отличие от последнего конвективное движение в ней не является независимым — оно «проникает» из области с развитой конвекцией. Таким образом, поля температур и концентраций в застойной зоне определяются характером и интенсивностью конвективного движения в средней части полости.